

Динамические характеристики стебля подсолнечника

А.С. Старцев, к.т.н., ФГБОУ ВО Саратовский ГАУ

Техническими условиями на уборку подсолнечника зерноуборочными комбайнами предусмотрено, что потери семян за жаткой при уборке не должны превышать 2,5% от фактической урожайности [1]. Однако не все жатки и приспособления

для уборки подсолнечника обеспечивают данное условие. Это можно объяснить многими факторами, среди которых – использование жаток, не предназначенных для уборки подсолнечника, несовершенство конструкции приспособлений, не учитывающих частные особенности уборки, недостаточно точная регулировка элементов жатки или адаптера.

С увеличением ускорения движения комбайна происходит ударное воздействие на стебли подсолнечника, что приводит к вымолачиванию семян рабочими органами мотовила жатки [2].

Рядом проводимых исследований по взаимодействию рабочих органов лопастного и трубного мотовила со стеблем подсолнечника было установлено, что на осыпемость семян оказывает влияние ускорение движения стебля подсолнечника при уборке, которое можно соотнести с ускорением движения комбайна [3]. С целью снижения потерь семян подсолнечника за счёт вымолачивания целесообразно переоборудование жаток для уборки зерновых культур на приспособления, конструкция которых позволит уменьшить потери убираемой культуры [4]. Техническим решением, обеспечивающим снижение потерь семян подсолнечника до 0,63% от биологической урожайности, является оснащение жатки шнеком-мотовилом (рис. 1).

С целью теоретического определения ускорения движения стебля при его захвате шнеком-мотовилом необходимо математически определить динамические характеристики стебля подсолнеч-

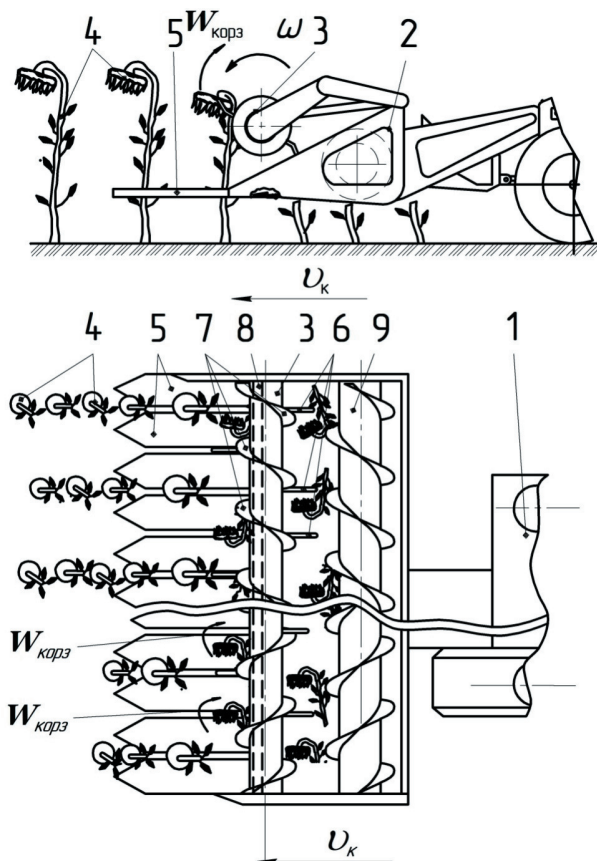


Рис. 1 – Технологическая схема работы шнека-мотовила:

1 – зерноуборочный комбайн; 2 – стеблем подсолнечника; 3 – жатка, оснащённая шнеком-мотовилом; 4 – шнек-мотовило; 5 – шнек жатки; 6 – режущий аппарат; 7 – отсекатели; 8 – стеблеподъёмники; $W_{корз}$ – ускорение движения корзинок; v_k – линейная скорость движения комбайна

ника. К динамическим характеристикам стебля подсолнечника относятся: масса, координаты центра масс и момент инерции стебля.

Для создания геометрической модели стебля разобьём его на три участка (рис. 2): прямой участок стебля OA ; изогнутый участок AB ; корзина B .

Участок OA (I) будет представлять собой конус постоянной плотности [5].

Объём усечённого конуса рассчитываем по формуле:

$$V = \frac{1}{3} \pi l_1 (R_1^2 + R_1 R_2 + R_2^2), \quad (1)$$

где l_1 – длина прямолинейного участка стебля OA , м;

R_1 – радиус основания усечённого конуса, м;

R_2 – радиус сечения конуса, м.

Для определения объёма цилиндра, вписанного в конус, используем формулу:

$$V_1 = \pi R_2^2 l_1. \quad (2)$$

Координаты центра масс равны:

$$x_{0C_1} = 0;$$

$$y_{0C_1} = 0;$$

(3)

$$z_{0C_1} = \frac{l_1}{4} \cdot \frac{R_1^2 + 2R_1 R_2 + 3R_2^2}{R_1^2 + R_1 R_2 + R_2^2}.$$

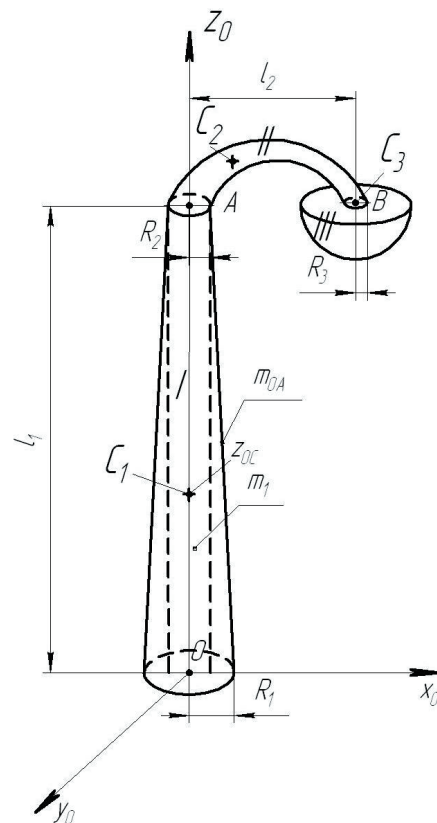


Рис. 2 – Геометрическая схема стебля подсолнечника: C_1, C_2, C_3 – центры тяжести участков стебля I, II и III соответственно

Для определения моментов инерции составим уравнение данной конической поверхности:

$$x^2 + y^2 = (R_1 - \frac{R_1 - R_2}{l_1} z)^2. \quad (4)$$

Момент инерции относительно координат плоскостей рассчитываем как [2]:

$$I_{xy_1} = \frac{m}{V} \iiint_V z^2 dx dy dz. \quad (5)$$

Момент инерции прямоугольного участка стебля OA относительно осей O_{xy} , выразим выражением:

$$I_{z_1} = I_{xy_1} + \frac{m_1'}{3V_0} \int_0^{2\pi} d\phi \left(\frac{P_1^3 r^2}{2} - P_1^2 P_2 r^3 + \frac{3}{4} P_1 P_2 r^4 - \frac{P_2^3 r^5}{5} \right) \Bigg|_{R_2}^{R_1}, \quad (6)$$

где $P_1 = \frac{l_1 R_1}{R_1 - R_2}$; $P_2 = \frac{l_1}{R_1 - R_2}$.

Так как $I_{xy_1} = \frac{1}{12} m_1 l_1^2$, получим:

$$I_{xy_1} = \frac{1}{12} m_1 l_1^2 + \frac{2\pi m_1'}{2V_2}$$

$$\left[\left(\frac{P_1^3}{2} (R_1 - R_2)^2 - P_1^2 P_2 (R_1 - R_2)^3 + \frac{3}{4} P_1 P_2 (R_1 - R_2)^4 - \frac{1}{5} P_2^3 (R_1 - R_2)^5 \right) \right], \quad (7)$$

где $V_2 = V - V_1$.

Массу участка стебля OA определим как сумму двух масс усечённого конуса:

$$m_1 + m_1' = m_{OA},$$

где $m_1' = m_{OA} - m_1 = m_{OA} \left(1 - \frac{V_1}{V_2} \right) =$
 $= m_{OA} \left(1 - \frac{3R_2^2}{R_1^2 + R_1 R_2 + R_2^2} \right) =$ (8)
 $= \frac{R_1^2 + R_1 R_2 - 2R_2^2}{R_1^2 + R_1 R_2 + R_2^2}.$

Выразим массу участка стебля OA как:

$$m_1 = \frac{V_1}{V} m_{OA} = \frac{3R_2^2 m_{OA}}{R_1^2 + R_1 R_2 + R_2^2}. \quad (9)$$

Определим момент инерции прямоугольного участка OA относительно осей Oxz с помощью уравнения:

$$I_{yz_1} = I_{yz_1} + \frac{m_1'}{V_2} \iiint_V x^2 dx dy dz =$$

$$= I_{xz_1} + \frac{m_1'}{V_2} \int_0^{3\pi} r^2 \cos^2 \phi d\phi \int_{R_1}^{R_2} r^3 dr \int_0^{R_1 - P_2 r} dz, \quad (10)$$

где $I_{xz_1} = \frac{1}{4} m_1 R_2^2$, кг/м².

Таким образом, получим:

$$I_{xz_1} = \frac{1}{4} m_1 R_2^2 + \frac{\pi m_1 (R_1 - R_2)^4 \left[(P_1 - P_2 (R_1 - R_2)) \right]}{20V_2}. \quad (11)$$

Моменты инерции I_x, I_y, I_z относительно координатных плоскостей определили по формулам:

$$I_{x_1} = I_{xy_1} + I_{xz_1};$$

$$I_{y_1} = I_{xy_1} + I_{yz_1}; \quad (12)$$

$$I_{z_1} = I_{xz_1} + I_{yz_1}.$$

В силу симметрии усечённого конуса относительно оси z имеем:

$$I_{xz_1} = I_{yz_1}; \quad (13)$$

$$I_{x_1} = I_{y_1} = I_{xy_1} = I_{xz_1};$$

$$I_{z_1} = \frac{3m_1}{10} \cdot \frac{R_1^5 - R_2^5}{R_1^2 - R_2^2}.$$

Переход от Декартовых координат к полярным рассчитывается как [2]:

$$x_1 = r \cos \phi;$$

$$y_1 = 0; \quad (14)$$

$$z_1 = r \sin \phi.$$

Заменим объёмную фигуру AB дугой окружности с переменной линейной плотностью $\gamma(\phi)$ (рис. 3):

$$\gamma(\phi) = kR^2, \quad (15)$$

где k – коэффициент пропорциональности;

R – радиус сечения участка AB , м.

Запишем уравнение окружности:

$$r = \frac{l_2}{2};$$

$$r' = 0. \quad (16)$$

Заменим R_2 – обозначение радиуса распрямлённого участка стебля AB на R_3 (рис. 4).

Текущий радиус дугобразного участка считаем по формуле:

$$R = R_2 - \frac{R_3 - R_2}{\pi} \phi. \quad (17)$$

Введём промежуточный коэффициент λ_1 :

$$\lambda_1 = \frac{R_3 - R_2}{\pi}. \quad (18)$$

Тогда:

$$\gamma(\phi) = k(R_2 - \lambda_1 \phi)^2;$$

$$\gamma(\phi) = k(R_2 - 2R_2 \lambda_1 \phi + \lambda_1^2 \phi^2). \quad (19)$$

Массу материальной кривой m_2 дугобразного участка AB переменной плотности [1] определим по формуле:

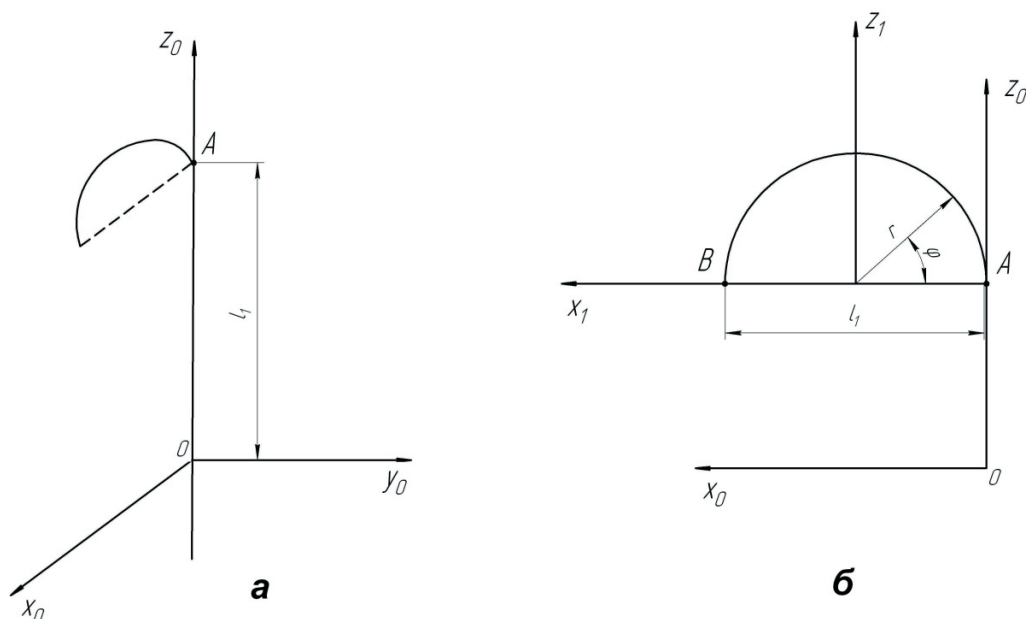


Рис. 3 – Геометрия дугообразного участка стебля АВ (шейка стебля)

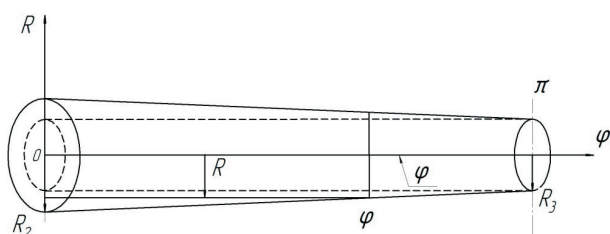


Рис. 4 – Геометрия участка АВ

$$m_2 = \int_{AB} \gamma(r, \phi) \sqrt{r^2 + (r')^2} d\phi. \quad (20)$$

Переходя к определённому интегралу, получим [2]:

$$m_2 = \frac{kl_2\pi}{2} \left(R_2^2 - R_2\lambda_1\pi + \frac{1}{3}\lambda_1^2\pi^2 \right). \quad (21)$$

Для упрощения расчётов введём обозначение:

$$k = \frac{2m_2}{l_2\pi \left(R_2^2 - R_2\lambda_1\pi + \frac{1}{3}\lambda_1^2\pi^2 \right)}. \quad (22)$$

Найдем координаты центра масс дугообразного участка АВ ($x_{0c_2}, y_{0c_2}, z_{0c_2}$).

Перейдём к полярной системе координат. Методом интегрирования получим моменты инерции дугообразного участка стебля АВ относительно осей координат [2]:

$$\begin{aligned} x_{0c_2} &= x_{1c} + \frac{l_2}{2} = \frac{kl_2^2\lambda}{m_2^2} (R_2 - \lambda_1) + \frac{l_2}{2}; \\ y_{0c_2} &= y_{1c} = 0; \\ z_{0c_2} &= z_{1c} + l_1 = \frac{kl_2^2}{4m_2} \\ &\quad \left[2R_2^2 - 4\pi R_2\lambda + 2\lambda_1^2(\pi - 1) \right] + l_1. \end{aligned} \quad (23)$$

Определим моменты инерции относительно осей системы координат x_0, y_0, z_0 согласно теореме Штейнера [4]:

$$\begin{aligned} I_{x_{02}} &= I_{x_2} + m_2 \frac{l_2^2}{4}; \\ I_{y_{02}} &= I_{y_{22}}; \\ I_{z_{02}} &= I_{z_{22}} + m_2 l_2^2. \end{aligned} \quad (24)$$

Для определения моментов инерции корзинки представим её в виде полусферы радиусом R_3 (рис. 5). Причём уравнение окружности основания корзинки будет иметь вид: $y = \sqrt{R_3^2 - x^2}$, дуги её сферы: $z = \sqrt{R_3^2 - x^2 - y^2}$.

Рассчитаем моменты инерции корзинки В:

$$\begin{aligned} I_{x_3} &= I_{xy_3} + I_{xz_3} = m_3 (z^2 + y^2); \\ I_{y_3} &= I_{yz_3} + I_{yx_3} = m_3 (x^2 + z^2). \end{aligned} \quad (25)$$

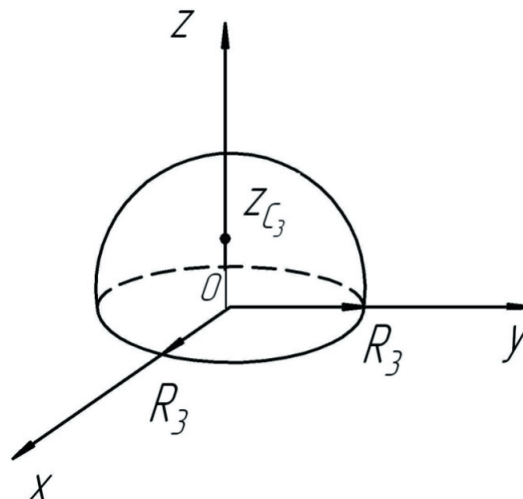


Рис. 5 – Геометрия корзинки В

Вычислим координаты центра масс корзинки:

$$\begin{aligned}x_3 &= l_1 \cos\alpha; \\y_3 &= l_1 \cos\beta; \\z_3 &= l_1 \cos\gamma.\end{aligned}\tag{26}$$

В итоге математических преобразований получаем суммарные моменты инерции стебля:

$$\begin{aligned}I_x &= I_{x_1} + I_{x_2} + I_{x_3}; \\I_y &= I_{y_1} + I_{y_2} + I_{y_3}; \\I_z &= I_{z_1} + I_{z_2} + I_{z_3}.\end{aligned}\tag{27}$$

Литература

1. Старцев А.С., Куньшин А.А. Технические условия на уборку подсолнечника зерноуборочным комбайном // *Фундаментальные и прикладные исследования в высшей аграрной школе: сб. статей.* Саратов, 2014. С. 36–39.
2. Старцев А.С., Попов М.Ю. Теоретическая зависимость потерь семян подсолнечника от скорости движения комбайна, оснащённого шнеком-мотовилом // *Аграрная наука.* 2012. № 2. С. 31–32.
3. Константинов М.М., Кондрашов А.Н., Глушков И.Н. Методика расчёта и обоснования параметров ленточного транспортера порционной жатки // *Известия Оренбургского государственного аграрного университета.* 2012. № 2 (34). С. 65–69.
4. Труфляк Е.В. Переоборудование кукурузоуборочной жатки для очистки початков от оберточных листьев // *Тракторы и сельхозмашины.* 2009. № 4. С. 25–28.
5. Бронштейн И.Н., Семендяев К.А. *Справочник по математике для инженеров и учащихся втузов.* М.: Наука, 1981. 723 с.